

ИНСТИТУТ ЯДЕРНОЙ ФИЗИКИ СИБИРСКОГО ОТДЕЛЕНИЯ АН СССР

препринт 107

В.Г.Пономаренко, Л.Я.Трайнин,
В.И.Юрченко, А.Н.Яснецкий

Тиристорный выпрямитель на 75 ква
с фазовым управлением

г.Новосибирск 1967

Препринт

В.Г.Пономаренко, Л.Я.Трайнин, В.И.Юрченко, А.Н.Ясненский

§ 1. ВВОДНОЕ

Для регулирования тиристорный выпрямитель с обратной связью по току на 75 ква с фазовым управлением

использованы полупроводниковые приборы, имеющие широкий диапазон рабочих температур и механической прочности, а также высокую надежность при работе в различных температурных условиях эксплуатации и давлениях.

Схема транзисторного выпрямителя имеет обратную связь, избегающую возвратов высокой частоты из-за нестабильности или ухудшения характеристик обратной связью управляемых элементов и давлений.

§ 2. ОБЩАЯ ПРИМЕРКА

2.1. Схема схемы

Применение полупроводниковых материалов было собрано из тиристорах ТЛ1К3-50,5 в ячейках 1, 2, 3 (рис. 1) и диодах 8-3521 в ячейках 1, 2, 3 во 2 параллельно следующих ячеек в каждой ячейке с изолированными контактами диаметром ~ 0,5 см в каждой пласти, величиной согласно рисункам рисунка 1/.

Диоды предварительно были отсортированы по группам с максимальным напряжением ВДХ.

Такое выполнение, упомянутое в этом рабочем (или, например, 1/), значительно улучшает общую производственную выработку, когда зарядка это подается за все вентили. Новосибирск на данной схеме во схеме с общей катодной обмоткой. 1967 г. Схема обратного соединения тока и модуляция количества управляемых транзисторов. Давная схема, как и общий

§ I. Введение

Для регулирования выпрямленных токов до 150а с обратным напряжением до 500в был рассчитан, изготовлен и опробован трехфазный двухполупериодный выпрямитель с фазовым управлением от транзисторных схем, собранных на стандартных, широко распространенных деталях.

Схема управления проста в исполнении, малогабаритна и отличается высокой точностью регулировки и надежностью при условии тщательной симметризации элементов схемы в разных фазах.

§ 2. Описание выпрямителя

II. I. Силовая схема

Трехфазный двухполупериодный выпрямитель собран на тиристорах УПВКЛ-50.5 в плечах I, 2, 3 (рис. I) и диодах Д-232А в плечах I, 2, 3 по 8 параллельно соединенных диодов в каждом плече с выравнивающими сопротивлениями $\sim 0,1$ ом в каждом плече, включенным согласно рекомендациям /1/.

Диоды предварительно были отобраны по группам с максимально близкими ВАХ.

Такое включение, упомянутое в ряде работ (см., например, /2/), значительно удобнее обычно применяемого включения, когда управление подается на все вентили. Преимуществами данной схемы по сравнению с обычной является большая точность согласования фаз и меньшее количество управляемых каналов. Данная схема, как и обычная

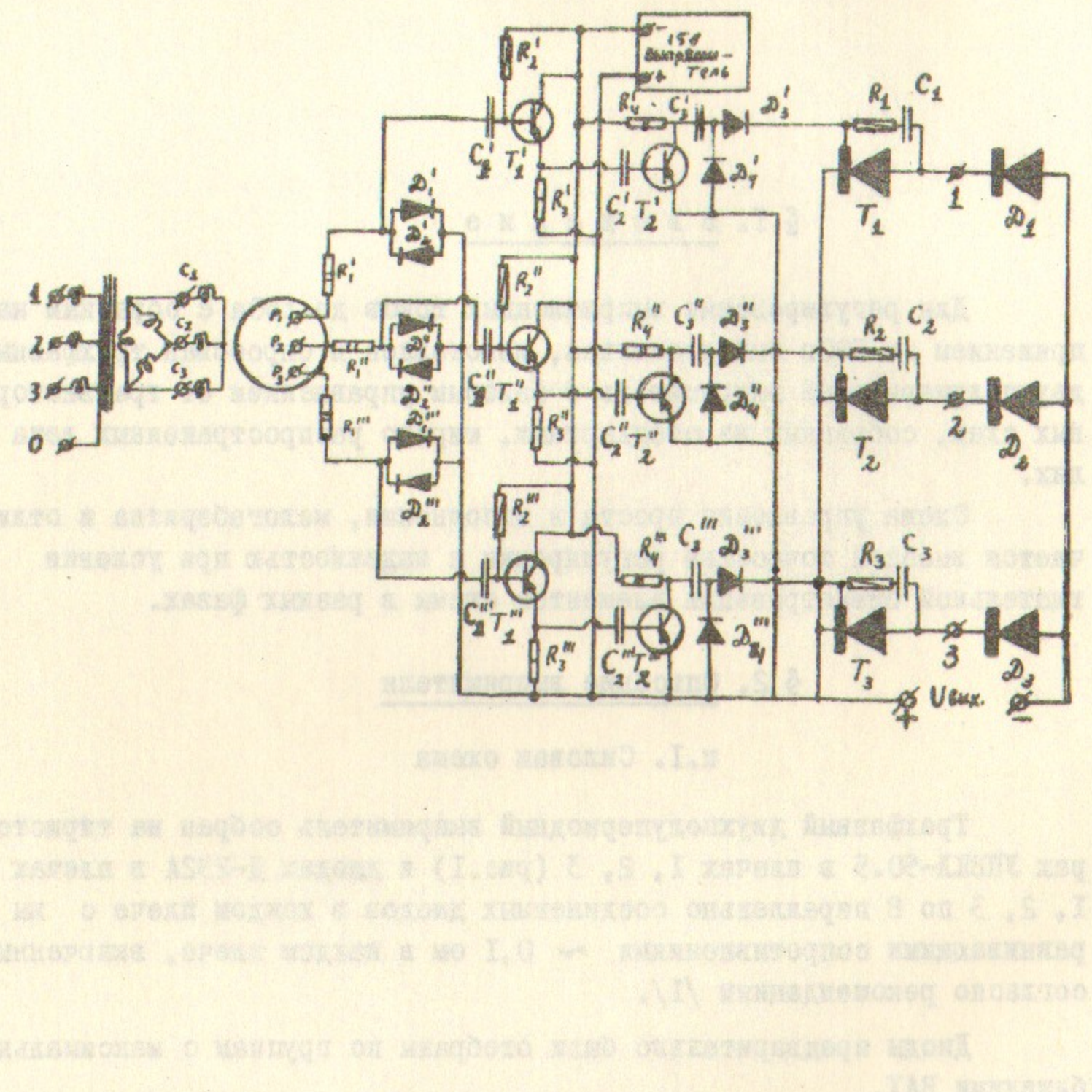


Рис. I. Принципиальная схема тиристорного выпрямителя.

(/3/) обеспечивает плавную регулировку от 0 до максимально возможного значения.

Управляемые и неуправляемые вентили охлаждаются проточной водой, для чего в массивных анодных и катодных блоках выпрямителя проточены специальные каналы.

Для защиты от переходных перенапряжений параллельно тиристорам включены конденсаторы C_1 , C_2 , C_3 , последовательно с сопротивлениями R_1 , R_2 , R_3 .

п.2. Схема управления

Регулировка фазы управляющего напряжения осуществляется с помощью дифференциального сельсина НЭД-501 (рис. I). Напряжение на статорные обмотки сельсина c_1 , c_2 , c_3 подается от сети трехфазного тока через поникающий трехфазный трансформатор I27/35в.

Напряжение с роторной обмотки дифференциального сельсина P_1 , P_2 , P_3 подается через ограничительные сопротивления R_1' , R_2'' , R_3''' на ограничительные элементы D_1' , D_2' , D_1'' , D_2'' , D_1''' , D_2''' , собранные на кремниевых стабилитронах Д-3II.

Благодаря резко нелинейной характеристике этих стабилитронов (рис. 2) их дифференциальное сопротивление $\frac{dU}{dI}$ очень велико при $I = 0$, и поэтому на них происходит почти идеальное ограничение напряжения. Как видно из рис. 3б, вплоть до фазы переменного напряжения, равной $\alpha \pi \sin \frac{U_1}{U_m}$, где U_1 — прямой порог зажигания стабилитрона, U_m — амплитуда переменного напряжения на выходе дифференциального сельсина, напряжение на стабилитроне почти равно полному выходному напряжению $U_m \sin \omega t$, а при $\omega t > \alpha \pi \sin \frac{U_1}{U_m}$ напряжение на стабилитроне равно U_1 .

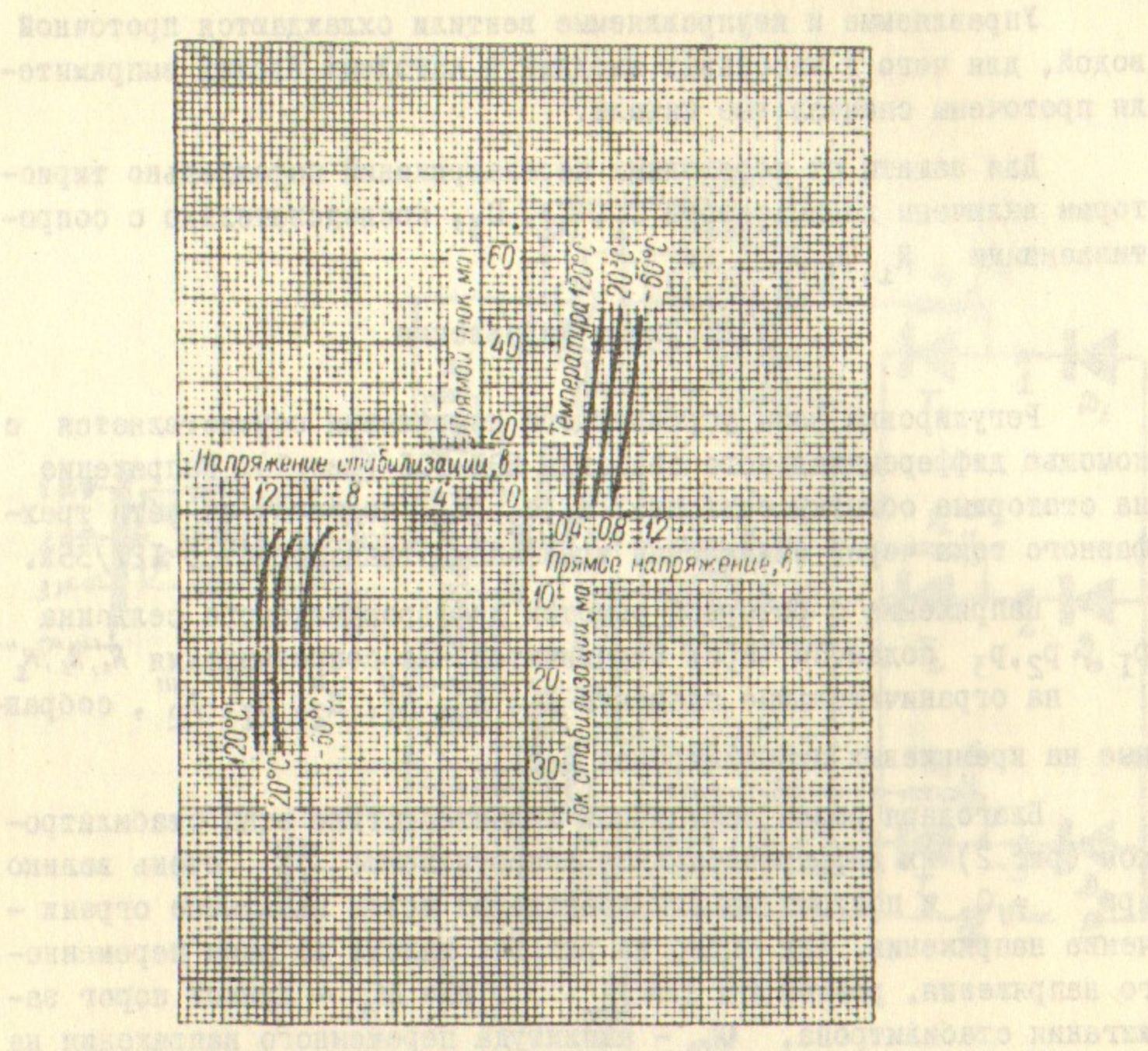
Так как $\frac{U_1}{U_m} \ll 1$, то обеспечена довольно высокая точность фиксации фазы выходного напряжения, значительно большая, чем

$$\Delta\beta = \alpha \pi \sin \frac{U_1}{U_m} \leq 1^\circ$$

Реальные осциллограммы напряжений на стабилитронах совпадали с расчетными с очень хорошей точностью.

Выходные напряжения стабилитронов через конденсаторы C_1' , C_2'' ,

—**Д-808 СВОЛЬ-АМПЕРНАЯ ХАРАКТЕРИСТИКА ПРИ РАЗЛИЧНОЙ ТЕМПЕРАТУРЕ ОКРУЖАЮЩЕЙ СРЕДЫ**



Д-808

взаимодействия сокращается и уменьшается
ионами, что приводит к снижению температуры
ионов в зоне стабилизации. Уменьшение температуры
ионов приводит к снижению

Рис.2.

— РОТ ионов стабилизации от $\Delta T = 0$ до $\Delta T = 100^\circ\text{C}$
— Капацитет ионов стабилизации ионов стабилизации от $\Delta T = 0$ до $\Delta T = 100^\circ\text{C}$

Рис.2. Приведенные рисунки показывают зависимость
ионов стабилизации от температуры ионов стабилизации. Их
изменение происходит в зависимости от температуры ионов стабилизации. В
результате этого изменение ионов стабилизации может

— ионов стабилизации, что приводит к снижению температуры ионов стабилизации

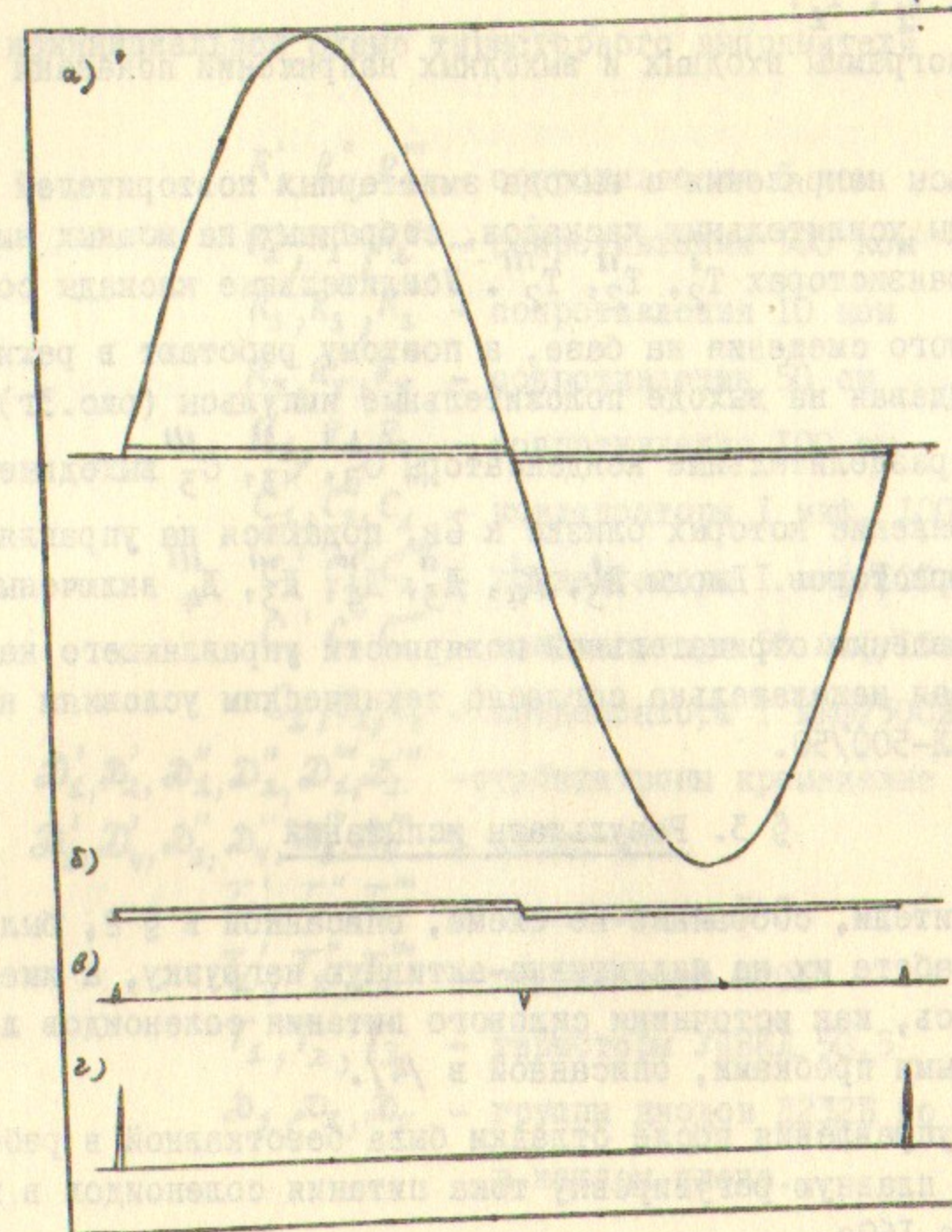


Рис.3. Зависимость от времени напряжений схемы управления.

— ионов стабилизации, что приводит к снижению температуры ионов стабилизации. В
результате этого изменение ионов стабилизации может

$C_2^{''''}$ подаются на вход эмиттерных повторителей, собранных на транзисторах $T_1^{'}, T_2^{''}, T_1^{'''}$.

Осциллограммы входных и выходных напряжений показаны на рис. 3б и 3в.

Импульсы напряжения с выхода эмиттерных повторителей подаются на входы усилительных каскадов, собранных на мощных низко - частотных транзисторах $T_2^{'}, T_2^{''}, T_2^{'''}$. Усилительные каскады собраны без постоянного смещения на базе, а поэтому работают в режиме класса В, выдавая на выходе положительные импульсы (рис. 3г).

Через разделительные конденсаторы $C_3^{'}, C_3^{''}, C_3^{'''}$ выходные импульсы, напряжение которых близко к 6в, подаются на управляющие электроды тиристоров. Диоды $D_3^{'}, D_4^{'}, D_3^{''}, D_4^{''}, D_3^{'''}, D_4^{'''}$ включены для полного подавления отрицательной полярности управляющего напряжения, которая нежелательна согласно техническим условиям на тиристоры УПВКЛ-500/50.

§ 3. Результаты испытаний

Выпрямители, собранные по схеме, описанной в § 2, были испытаны при работе их на индуктивно-активную нагрузку, а именно использовались, как источники силового питания соленоидов ловушки с магнитными пробками, описанной в /4/.

Схема управления после отладки была безотказной в работе и обеспечивала плавную регулировку тока питания соленоидов в пределах от 0 до 160а.

Точная фазировка, достигнутая благодаря симметризации элементов схемы, большая постоянная времени соленоидов, равная 50 сек, а также наличие мощных батарей электролитических конденсаторов 1300 мкф/300в, общей ёмкостью в 0,013 ф, включенных параллельно соленоидам, обеспечила низкий коэффициент пульсации, равный 1% при $I_{выпр} = 5$ а, что обеспечило регулировку тока питания соленоидов в широком диапазоне.

Авторы выражают благодарность В.И.Потапову за помощь в сборке и отладке установки.

Спецификация

к принципиальной схеме тиристорного выпрямителя

$R_1^{'}, R_1^{''}, R_1^{'''}$	- сопротивления 5 ком
$R_2^{'}, R_2^{''}, R_2^{'''}$	- сопротивления 500 ком
$R_3^{'}, R_3^{''}, R_3^{'''}$	- сопротивления 10 ком
$R_4^{'}, R_4^{''}, R_4^{'''}$	- сопротивления 50 ом
R_1, R_2, R_3	- сопротивления 100 ом
$C_1^{'}, C_1^{''}, C_1^{'''}$	- конденсаторы 1 мкф, 100в
$C_2^{'}, C_2^{''}, C_2^{'''}$	- конденсаторы 1 мкф/100в
$C_3^{'}, C_3^{''}, C_3^{'''}$	- конденсаторы 50 мкф/15в
C_4, C_5, C_6	- конденсаторы 1 мкф/500в
$D_1^{'}, D_2^{'}, D_1^{''}, D_2^{''}, D_1^{'''}, D_2^{'''}$	- стабилитроны кремниевые Д-811
$D_3^{'}, D_4^{'}, D_3^{''}, D_4^{''}, D_3^{'''}, D_4^{'''}$	- диоды Д7Г
$T_1^{'}, T_1^{''}, T_1^{'''}$	- транзисторы П40
$T_2^{'}, T_2^{''}, T_2^{'''}$	- транзисторы П201
T_3, T_4, T_5	- тиристоры УПВКЛ 50.5
D_1, D_2, D_3	- группы диодов Д232Б по 8 диодов в каждом плече.

Л и т е р а т у р а

1. Транзисторы и полупроводниковые диоды.
Справочник М. Связьиздат 1963.
2. Кремниевые управляемые вентили-тиристоры. Перевод с английского. М-Л, Энергия, 1964.
3. Каганов И.Л. Электронные и ионные преобразователи. Ч.3,
М-Л Госэнергоиздат , 1956.
4. А.Н.Дубинина , Л.Я.Трайнин, Б.В.Чириков.
ЖЭТФ 49, №2, 273, 1965.

Литература

1. Транспорт и конкуренция международные. Справочник И. Свердловск 1963.
2. Промышленно-экономическое значение горнодобывающей промышленности. Урал, Уфа, 1964.
3. Коган И.А. Электроэнергия в жизни промышленности. Ч. 3. Уральск , А.И. Ткачук, Б.В. Чумаков, №119 49, №1, 275, 1965.

Ответственный за выпуск Ю.И.Родионов

Подписано к печати 22 марта 1967 года
Заказ 107, усл. 0,25 п.л., тираж 200 экз.,
бесплатно.

Отпечатано на ротапринте в ИЯФ СО АН СССР